

# AEG Thyratron

ASG 5727

Tetrode mit Edelgasfüllung

Inert gas-filled Tetrode

Tétrode avec remplissage à gaz rare

Glasausführung

Glass type

Exécution verre

Miniaturröhre

Pico 7

Sockel B 7 G

Oxydkathode

Oxyde-coated-cathode

Cathode à oxyde

Indirekt geheizt durch Gleich- oder Wechselstrom

indirectly D.C. or A.C. heated

chauffée indirectement par courant continu ou alternatif

Montageanordnung

Mounting position

Disposition de montage

beliebig

any

quelconque

Gewicht

Weight

Poids

0,01 kg

a = Anode

Anode

Anode

k = Kathode

Cathode

Cathode

g<sub>1</sub> = Steuergitter

Control grid

Grille de réglage

g<sub>2</sub> = Schirmgitter

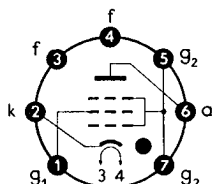
Screen grid

Grille de protection

f = Heizung

Heating

Chaudage



Sockelschaltbild  
von unten gesehen

Base connection  
viewed from below

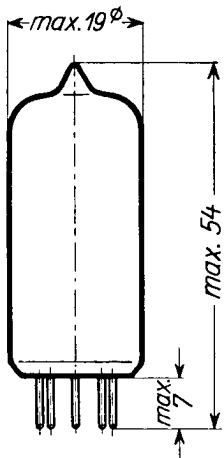
Broches de la base,  
face à l'observateur

**Abmessungen**

Dimensions

Dimensions

mm



Die Röhre weist einen hohen Zuverlässigkeit faktor auf und kann kurzzeitig mit Stoßbeschleunigungen bis zu 500 g beansprucht werden.

The tube has a large factor of safety and can be subjected to shock accelerations of 500 g for short periods.

La tube a un facteur élevé de sûreté et elle peut être soumise à des efforts instantanés jusqu'à 500 g.

**Freie Kontakte der Fassung dürfen nicht als Stützpunkte für Schaltmittel benutzt werden.**

Free socket contacts must not be used for supporting any circuitry.

Les contacts libres de la douille ne doivent pas servir de points d'appui pour la filerie.

**Technische Werte**
**Technical data**
**Caractéristiques techniques**
**I\***
**II**

|  |            |                     |  |
|--|------------|---------------------|--|
| <b>Heizspannung</b>  | $U_f$      | }                   | $6,3 \text{ V} \pm 10\%$   |
| Filament voltage   |            |                     |  |
| Tension de chauffage   |            |                     |  |
| <b>Heizstrom</b>   | $I_f$      | ca.<br>abt.<br>env. | $0,6 \text{ A}$  |
| Filament current   |            |                     |  |
| Courant de préchauffage  |            |                     |  |
| <b>Anheizzeit</b>  | $t_h$      | }                   | $10 \text{ s}$   |
| Cathode heating time   |            |                     |  |
| Durée de chauffage   |            |                     |  |
| <b>Anodenspannung-Scheitelwert</b>   | $U_{asp}$  | }                   | $\text{max. } 650 \text{ V}$ $\text{max. } 500 \text{ V}^1)$   |
| Anode voltage (crest value)  |            |                     |  |
| Tension anodique (valeur de crête)   |            |                     |  |
| <b>Sperrspannung-Scheitelwert</b>  | $U_{inv}$  | }                   | $\text{max. } 1300 \text{ V}$ $\text{max. } 100 \text{ V}^2)$  |
| Inverse voltage (crest value)  |            |                     |  |
| Tension d'arrêt (valeur de crête)  |            |                     |  |
| <b>Anodenstrom-Scheitelwert</b>  | $I_{asp}$  | }                   | $\text{max. } 0,5 \text{ A}$ $\text{max. } 10 \text{ A}^2)$  |
| Anode current (crest value)  |            |                     |  |
| Courant anodique (valeur de crête)   |            |                     |  |
| <b>Anodenstrom-Mittelwert</b>  | $I_a$      | }                   | $\text{max. } 0,1 \text{ A}$ $\text{max. } 0,01 \text{ A}^2)$  |
| Anode current (average)  |            |                     |  |
| Courant anodique (valeur moyenne)  |            |                     |  |
| <b>Überlastungsstromstoß<sup>3)</sup></b><br><b>(für max. 0,1 s)</b>                                 | $I_{stoß}$ | }                   | $10 \text{ A}$   |
| Surge current of max. 0,1 s for<br>design only <sup>3)</sup>   |            |                     |  |
| Impulsion de courant anodique<br>accidentel de printe admissible<br>pendant 0,1 s max. <sup>3)</sup> |            |                     |  |
| <b>Negative Spannung am Steuergitter<br/>bei gesperrter [gezündeter] Röhre<br/>(Scheitelwert)</b>    | $U_{g,sp}$ | }                   | $\text{max. } -100 \text{ V}$ $\text{max. } -100 \text{ V}$<br>[max. $-10 \text{ V}$ ] [max. $-10 \text{ V}$ ] |
| Negative control grid bias of<br>non-conducting [conducting] tube<br>(crest value)                   |            |                     |  |
| Tension négativ de grille régula-<br>trice pour tube bloqué [allumé]<br>(valeur de crête)            |            |                     |  |

\* Angaben umseitig  
 Particulars overleaf  
 Données au verso

|  | I            | II   |                                      |
|--|--------------|--|--------------------------------------|
| <b>Negative Spannung am Schirmgitter bei gesperrter [gezündeter] Röhre (Scheitelwert)</b><br>Negative screen grid bias of non-conducting [conducting] tube (crest value)<br><b>Tension negatif de grille protectrice pour tube bloqué [allumé] (valeur de crête)</b> | $U_{g_2,sp}$ | max. —100 V<br>[max. — 10 V]      max. —50 V<br>[max. —10 V]           |                                      |
| <b>Steuergitterstrom-Scheitelwert</b><br>Control grid current (crest value)<br><b>Courant de grille régulatrice (valeur de crête)</b>  | $I_{g,sp}$   | —      20 mA   |                                      |
| <b>Steuergitterstrom-Mittelwert</b><br>Control grid current (average)<br><b>Courant de grille régulatrice (valeur moyenne)</b>   | $I_{g_1}$    | max. 10 mA      —  |                                      |
| <b>Schirmgitterstrom-Scheitelwert</b><br>Screen grid current (crest value)<br><b>Courant de grille protectrice (valeur de crête)</b>   | $I_{g_2,sp}$ | —      20 mA   |                                      |
| <b>Schirmgitterstrom-Mittelwert</b><br>Screen grid current (average)<br><b>Courant de grille protectrice (valeur moyenne)</b>  | $I_{g_2}$    | max. 10 mA      —  |                                      |
| <b>Zulässige Spannung zwischen Heizung f und Kathode k</b><br>Max. permissible voltage between filament f and cathode k<br>Tension admissible entre chauffage f et cathode k   | $U_{fk}$     | 100 V      0 V<br>25 V      0 V  |                                      |
| <b>Brennspannung</b><br>Arc drop<br>Chute dans l'arc   | $U_B$        | ca.<br>abt.<br>env.  | 8 V                                  |
| <b>Integrationszeit</b><br>Integration time<br>Temps d'intégration   | $\tau$       |  | max 30 s                             |
| <b>Ionisierungszeit</b><br>Ionization time<br>Temps d'ionisation   | $t_i$        |  | 0,5 $\mu$ s                          |
| <b>Freiwerdezeit</b><br>Recovery time<br>Temps de recouvrement   | $t_r$        | bei<br>at $U_{g_1} = -10 \text{ V}$<br>pour $U_{g_1} = -100 \text{ V}$ | $75 \mu\text{s}$<br>$35 \mu\text{s}$ |
| <b>Gitter-Anoden-Kapazität</b><br>Grid-anode capacity<br>Capacité anode-grille   | $C_{ga}$     |  | 0,026 pF                             |
| <b>Eingangs-Kapazität</b><br>Grid-filament capacity<br>Capacité d'entrée   | $C_e$        |  | 2,4 pF                               |

# AEG Thyratron

ASG 5727

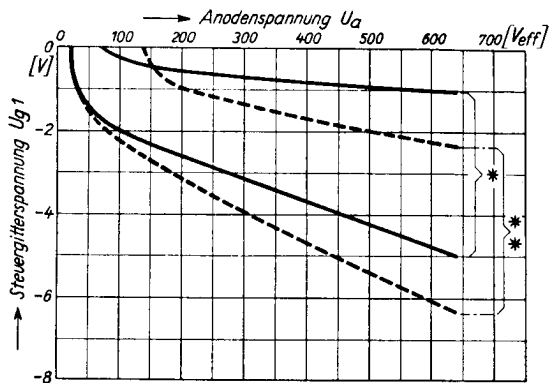
|  | I         | II   |
|--|-----------|--|
| <b>Steuergitterwiderstand</b><br>Control grid resistance<br>Résistance de grille régulatrice | $R_{g_1}$ | max. 10 M $\Omega$<br>max. 500 k $\Omega$    |
| <b>Schirmgitterwiderstand</b><br>Screen grid resistance<br>Résistance de grille protectrice  | $R_{g_2}$ | —<br>min. 2 k $\Omega$<br>max. 25 k $\Omega$ |
| <b>Umgebungstemperatur</b><br>Ambient temperature<br>Température ambiante                    | $t_{amb}$ | min. —75° C<br>max. +90° C                   |

**I \* Gittergesteuerter Gleichrichter**  
Grid controlled rectifier  
Redresseur à commande par grille

**II Impulsbetrieb**

Impuls operation  
Régime à impulsions

- Die Anodenspannung darf erst 20  $\mu$ s nach Ende des Impulses den Betrag von 10 V überschreiten.  
Anode voltage to exceed 10 V only 20  $\mu$ s after end of impulse.  
La tension d'anode ne doit dépasser la valeur de 10 V que 20  $\mu$ s après la fin d'impulsion.
- Impulsfolgefrequenz max. 500 Hz. Impulsdauer max. 5  $\mu$ s. Einschaltzeit max. 0,1 %.  
Max. pulse spacing (pps) 500 c/s. Max. impulse duration 5  $\mu$ s.  
Max. time on 0,1 %.  
Fréquence d'impulsion positives max. 500 Hz. Durée d'impulsion max. 5  $\mu$ s. Durée d'enclenchement.
- Jeder Überlastungsstromstoß schädigt die Röhre, ohne sie jedoch völlig zu zerstören.  
Each overcurrent impulse is harmful, will, however, not destroy the valve completely.  
Tout appel de courant de surcharge endommage le tube, sans cependant le détruire complètement.



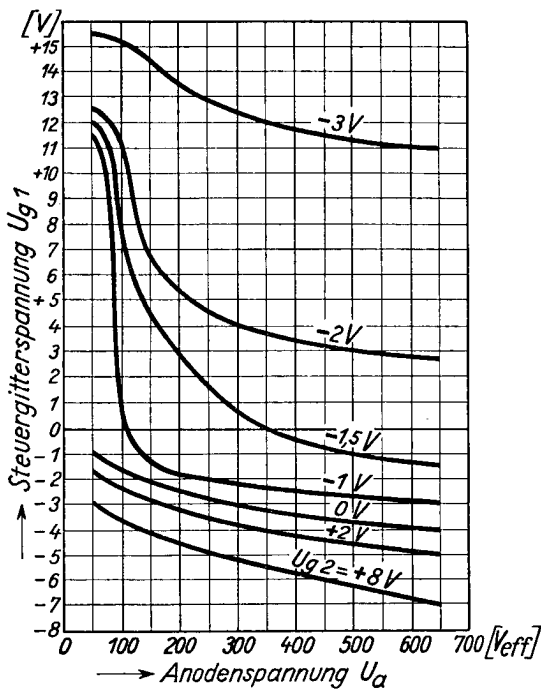
- \* Streubereich      bei }  
 Zone of allowance      at }  $R_{g1} = 0,1 \text{ M}\Omega$   
 Bande de dispersion      à }
- \*\* Streubereich      bei }  
 Zone of allowance      at }  $R_{g1} = 10 \text{ M}\Omega$   
 Bande de dispersion      à }

**Kennlinienbereich bei Anschluß des Schirmgitters an die Kathode.**

Firing characteristics of screen-grid thyratron with screen grid connected directly to cathode.

Bande des caractéristiques pour raccord de la grille protectrice à la cathode.

|                               |   |                               |
|-------------------------------|---|-------------------------------|
| Anodenspannung $U_a$          | { | RMS anode voltage             |
|                               |   | Tension anodique              |
| Steuergitterspannung $U_{g1}$ | { | Control-grid bias             |
|                               |   | Tension de grille régulatrice |



Zündkennlinien für jeweils konstante Schirmgitterspannungen  $U_{g2}$ , Steuergitterspannung  $U_{g1}$  in Abhängigkeit von der Anodenwechselspannung (Effektivwert) am Zündpunkt.

Firing characteristics of screen-grid thyatron at fixed screen-grid voltages  $U_{g2}$  as parameter, showing the control-grid voltage  $U_{g1}$  as function of the RMS value of the anode voltage at the firing point.

Caractéristiques d'allumage pour tensions constantes de grilles protectrices  $U_{g2}$ . Tension de grille régulatrice  $U_{g1}$ , en fonction de la tension alternative d'anode (valeur effective) au point d'allumage.